

Agujeros negros BTZ-GB: Termodinámica y estabilidad

Bertha Cuadros-Melgar

Universidade of São Paulo
Campus Lorena, SP - Brasil

arXiv:2206.06516 (aceptado en Phys. Rev. D)

VII Encuentro de Egresados de la EPF
(07-10 de Noviembre de 2022)

Plan de la Charla

 Motivación e Introducción

Plan de la Charla

- ♣ Motivación e Introducción
- ♣ Agujero negro GB-BTZ

Plan de la Charla

- ♣ Motivación e Introducción
- ♣ Agujero negro GB-BTZ
- ♣ Perturbaciones escalares: FCN y modos hidrodinámicos.

Plan de la Charla

- ♣ Motivación e Introducción
- ♣ Agujero negro GB-BTZ
- ♣ Perturbaciones escalares: FCN y modos hidrodinámicos.
- ♣ Perturbaciones espinoriales

Plan de la Charla

- ♣ Motivación e Introducción
- ♣ Agujero negro GB-BTZ
- ♣ Perturbaciones escalares: FCN y modos hidrodinámicos.
- ♣ Perturbaciones espinoriales
- ♣ Aspectos entrópicos: límite de Bekenstein, correcciones semiclásicas.

Motivación e Introducción

- ♣ Gravitación en baja dimensionalidad \rightarrow BTZ.

Motivación e Introducción

- ♣ Gravitación en baja dimensionalidad \rightarrow BTZ.
- ♣ Teoría de Lovelock \rightarrow Gauss-Bonnet (GB).

Motivación e Introducción

- ♣ Gravitación en baja dimensionalidad \rightarrow BTZ.
- ♣ Teoría de Lovelock \rightarrow Gauss-Bonnet (GB).
- ♣ GB en 4D \rightarrow teoría de Horndeski (gravitación escalar-tensorial).

Motivación e Introducción

- ♣ Gravitación en baja dimensionalidad \rightarrow BTZ.
- ♣ Teoría de Lovelock \rightarrow Gauss-Bonnet (GB).
- ♣ GB en 4D \rightarrow teoría de Horndeski (gravitación escalar-tensorial).
- ♣ GB en 3D \rightarrow solución BTZ generalizada.

Motivación e Introducción

- ♣ Gravitación en baja dimensionalidad \rightarrow BTZ.
- ♣ Teoría de Lovelock \rightarrow Gauss-Bonnet (GB).
- ♣ GB en 4D \rightarrow teoría de Horndeski (gravitación escalar-tensorial).
- ♣ GB en 3D \rightarrow solución BTZ generalizada.
- ♣ Objetivos: Perturbaciones, entropía.

Agujero Negro GB-BTZ

[R. A. Hennigar, D. Kubiznak, R. B. Mann, and C. Pollack, PLB 808, 135657 (2020)].

La acción de la teoría es:

$$S = \int d^3x \sqrt{-g} \left\{ R - 2\Lambda + \alpha \left[\phi \mathcal{G} + 4G^{ab} \partial_a \phi \partial_b \phi - 4(\partial\phi)^2 \square\phi + 2((\nabla\phi)^2)^2 \right] \right\} , \quad (1)$$

con $\mathcal{G} = R_{abcd}R^{abcd} - 4R_{ab}R^{ab} + R^2$.

♣ Obtenida por una reducción dimensional tipo KK o por el método de Ross-Mann.

Una solución tipo agujero negro es:

$$ds^2 = -f(r)dt^2 + \frac{dr^2}{f(r)} + r^2d\varphi^2, \quad (2)$$

con

$$f(r)_{\pm} = -\frac{r^2}{2\alpha} \left(1 \pm \sqrt{1 + \frac{4\alpha}{r^2} \left(-M + \frac{r^2}{L^2} \right)} \right), \quad (3)$$

$$\phi(r) = \ln \left(\frac{r}{L} \right). \quad (4)$$

Una solución tipo agujero negro es:

$$ds^2 = -f(r)dt^2 + \frac{dr^2}{f(r)} + r^2d\varphi^2, \quad (2)$$

con

$$f(r)_{\pm} = -\frac{r^2}{2\alpha} \left(1 \pm \sqrt{1 + \frac{4\alpha}{r^2} \left(-M + \frac{r^2}{L^2} \right)} \right), \quad (3)$$

$$\phi(r) = \ln \left(\frac{r}{L} \right). \quad (4)$$

- ♣ Horizonte de eventos: $r_+ = L\sqrt{M}$.
- ♣ Para estar bien definida en el infinito espacial: $\alpha > -L^2/4$.

♣ Caso $\alpha > 0$: Singularidad de rama (branch)

$$r_b = 2\sqrt{\frac{\alpha}{L^2 + 4\alpha}} r_+ < r_+ . \quad (5)$$

$$K \equiv R_{\alpha\beta\mu\nu} R^{\alpha\beta\mu\nu} \sim \frac{r_b^3 (L^2 + 4\alpha)}{32\alpha^2 L^2 (r - r_b)^3} + \dots . \quad (6)$$

♣ Caso $\alpha > 0$: Singularidad de rama (branch)

$$r_b = 2\sqrt{\frac{\alpha}{L^2 + 4\alpha}} r_+ < r_+ . \quad (5)$$

$$K \equiv R_{\alpha\beta\mu\nu} R^{\alpha\beta\mu\nu} \sim \frac{r_b^3 (L^2 + 4\alpha)}{32\alpha^2 L^2 (r - r_b)^3} + \dots . \quad (6)$$

♣ Caso $-L^2/4 < \alpha < 0$: Singularidad en $r = 0$.

$$K \sim -\frac{2M}{\alpha r^2} + \dots . \quad (7)$$

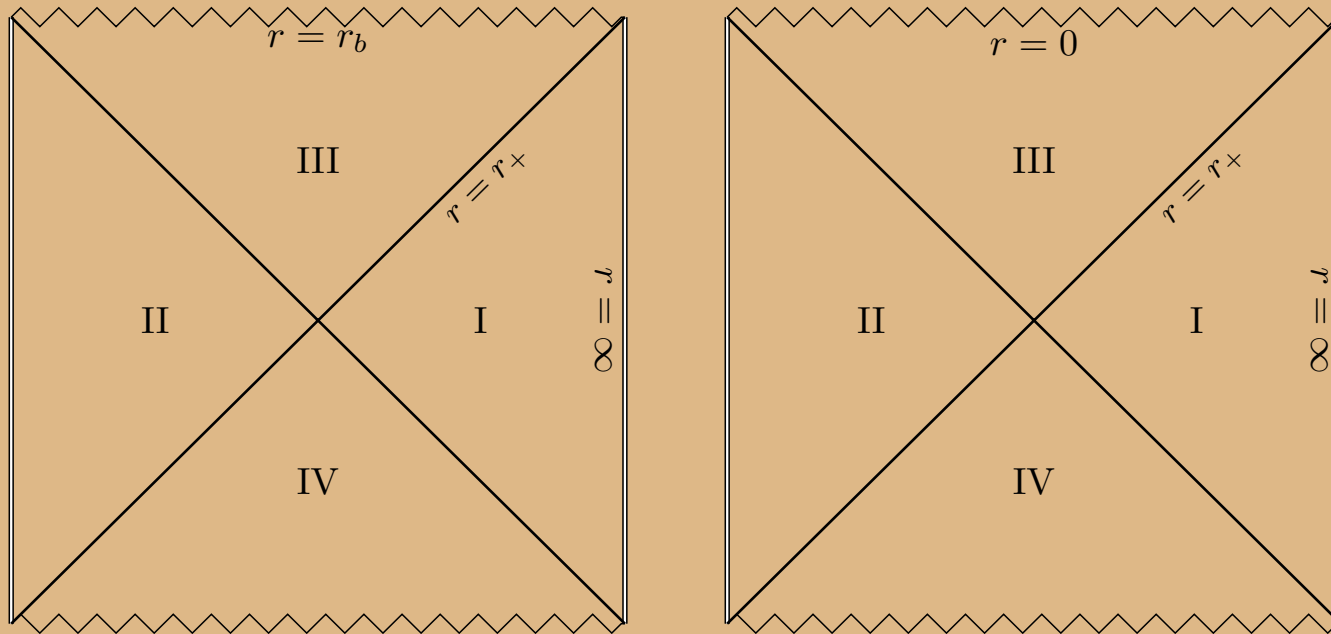


Figura 1: Diagrama de Penrose-Carter para el agujero negro GB-BTZ $(2 + 1)$ -dimensional con $\alpha > 0$ (izquierda) y $-L^2/4 < \alpha < 0$ (derecha).

Perturbación escalar

Consideremos un campo escalar no masivo $\Psi(x^\mu)$,

$$\frac{1}{\sqrt{-g}} \partial_\mu (\sqrt{-g} g^{\mu\nu} \partial_\nu \Psi) = 0, \quad (8)$$

donde

$$\Psi(t, r, \varphi) = \sum_m \frac{\psi(r, t)}{\sqrt{r}} e^{im\varphi} = \sum_m \frac{R(r)}{\sqrt{r}} e^{-i\omega t + im\varphi}, \quad (9)$$

tal que

$$\frac{d^2 R}{dr_*^2} + (\omega^2 - V(r)) R = 0, \quad (10)$$

con

$$V(r) = f(r) \left(\frac{m^2}{r^2} - \frac{f(r)}{4r^2} + \frac{1}{2r} \frac{df(r)}{dr} \right). \quad (11)$$

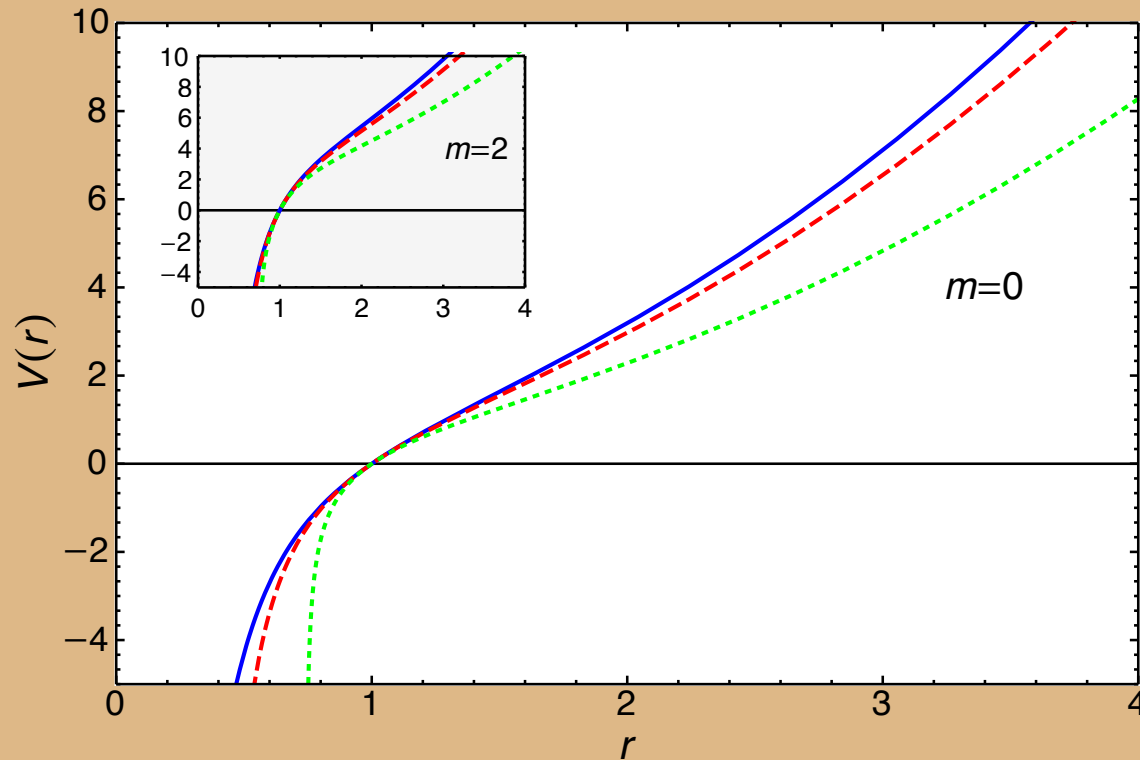


Figura 2: Panel principal: Potencial escalar efectivo $V(r)$ con $m = 0$, $M = L = 1$ para $\alpha = 0$ (azul), $\alpha = 5 \times 10^{-2}$ (rojo), and $\alpha = 3 \times 10^{-1}$ (verde). Panel secundario: $m = 2$, $M = L = 1$.

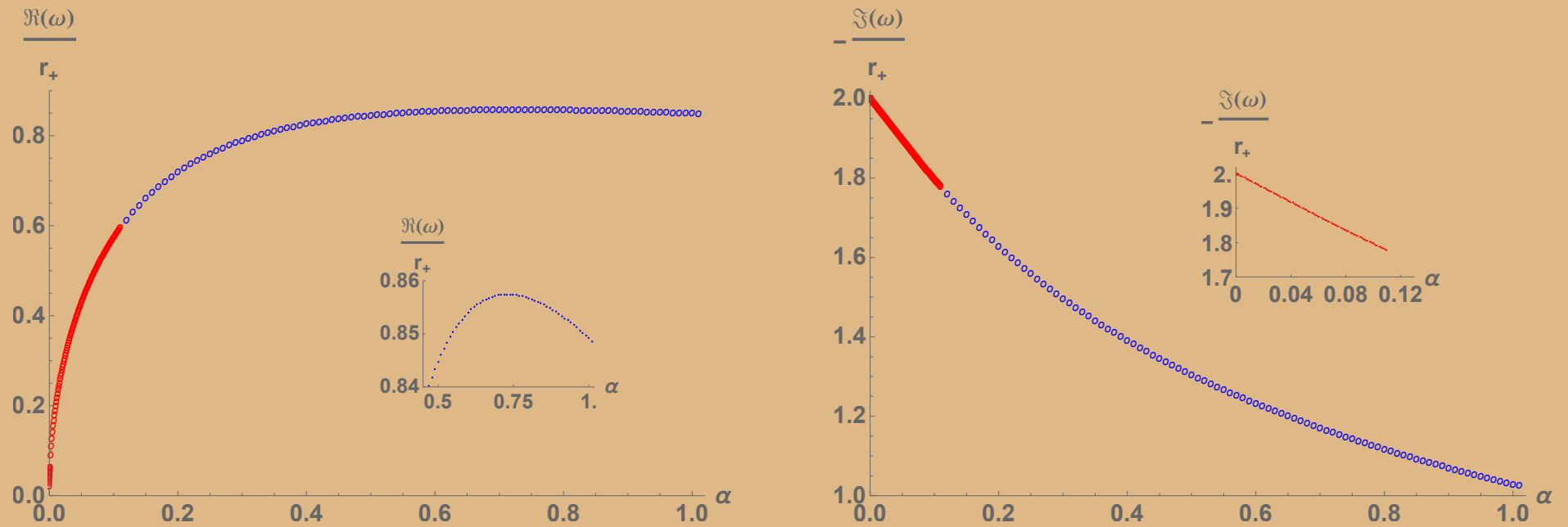


Figura 3: Modos cuasinormales escalares fundamentales del agujero negro GB-BTZ para diferentes α .

Tabla 1: Modos cuasinormales escalares con $L = 1$.

α	m	$r_+ = 1$		$r_+ = 10$		$r_+ = 100$	
		$\Re(\omega)$	$-\Im(\omega)$	$\Re(\omega)$	$-\Im(\omega)$	$\Re(\omega)$	$-\Im(\omega)$
$1 \cdot 10^{-4}$	0	0.02010	1.99975	0.20405	19.99609	2.04054	199.96092
	1	0.99965	1.99883	1.02051	19.99608	2.27236	199.96092
$1 \cdot 10^{-3}$	0	0.06333	1.99781	0.63329	19.97806	6.33286	199.78061
	1	1.00185	1.99727	1.18394	19.97796	6.41138	199.78060
$1 \cdot 10^{-2}$	0	0.19881	1.97948	1.98807	19.79481	19.88068	197.94808
	1	1.01893	1.97500	2.22700	19.79394	19.90599	197.94799
$1 \cdot 10^{-1}$	0	0.57232	1.79642	5.72319	17.96419	57.23187	179.64185
	1	1.13028	1.77622	5.80817	17.96072	57.24044	179.64150
$5 \cdot 10^{-1}$	0	0.84478	1.30425	8.44776	13.04249	84.47757	130.42490
	1	1.20626	1.27595	8.49345	13.03798	84.48215	130.42445

Modos Hidrodinámicos

- ♣ Límite hidrodinámico: número de onda \ll temperatura del sistema.
- ♣ Correspondencia gauge/gravedad: tiempo de termalización \propto inverso de la frecuencia imaginaria fundamental.

Modos Hidrodinámicos

- ♣ Límite hidrodinámico: número de onda \ll temperatura del sistema.
- ♣ Correspondencia gauge/gravedad: tiempo de termalización \propto inverso de la frecuencia imaginaria fundamental.

Sea $\mathfrak{w} = \omega/2\pi T$ y $\mathfrak{q} = m/2\pi T$. En el límite $\mathfrak{q} \rightarrow 0$ y $\mathfrak{w} \ll 1$, haciendo $u = r_+/r$:

$$R''(u) + \left[\frac{h'}{h} - \frac{1}{u} \right] R'(u) + \frac{4\alpha^2}{h^2 L^4} \mathfrak{w}^2 R(u) = 0, \quad (12)$$

con

$$h = 1 - \left[1 + \frac{4\alpha}{L^2} (1 - u^2) \right]^{1/2}. \quad (13)$$

Podemos expandir $R(u)$ como:

$$R(u) \approx h(u)^\sigma \left(F_0(u) + i\omega F_1(u) + \mathcal{O}(\omega^2) \right). \quad (14)$$

- ♣ Aplicando la condición de modos entrantes en el horizonte $\rightarrow \sigma = -i\omega/2$.
- ♣ Aplicando la condición de Dirichlet en el infinito espacial, obtenemos las frecuencias permitidas que nos dan el tiempo de termalización:

$$\tau = \frac{\ln \left(\frac{L^2}{L^2 - \alpha} \right)}{2\pi T}, \quad (15)$$

para $0 < \alpha < L^2$.

Perturbación espinorial

Consideramos un campo espinorial que obedece

$$i\gamma^{(a)} e_{(a)}^\mu \nabla_\mu \Phi = 0, \quad (16)$$

con

$$\nabla_\mu = \partial_\mu + \frac{1}{8} \omega^{(a)(b)} [\gamma_{(a)}, \gamma_{(b)}], \quad (17)$$

$$\omega_\mu^{(a)(b)} = e_\nu^{(a)} \partial_\mu e^{(b)\nu} + e_\nu^{(a)} \Gamma_{\mu\rho}^\nu e^{\rho(b)}. \quad (18)$$

El espinor puede descomponerse como:

$$\begin{pmatrix} \Phi_1(t, r, \varphi) \\ \Phi_2(t, r, \varphi) \end{pmatrix} = \begin{pmatrix} i (r^2 f)^{1/4} e^{-i\omega t + im\varphi} Y_+(r) \\ (r^2 f)^{1/4} e^{-i\omega t + im\varphi} Y_-(r) \end{pmatrix}, \quad (19)$$

Así:

$$\left(\frac{d^2}{dr_*^2} + \omega^2 \right) R_{\pm} = V_{\pm} R_{\pm}, \quad (20)$$

con $R_{\pm} = Y_+ \pm Y_-$ y

$$V_{\pm} = m^2 \frac{f}{r^2} \pm m \frac{\sqrt{f}}{r} \left[\frac{1}{2} \frac{df}{dr} - \frac{f}{r} \right]. \quad (21)$$

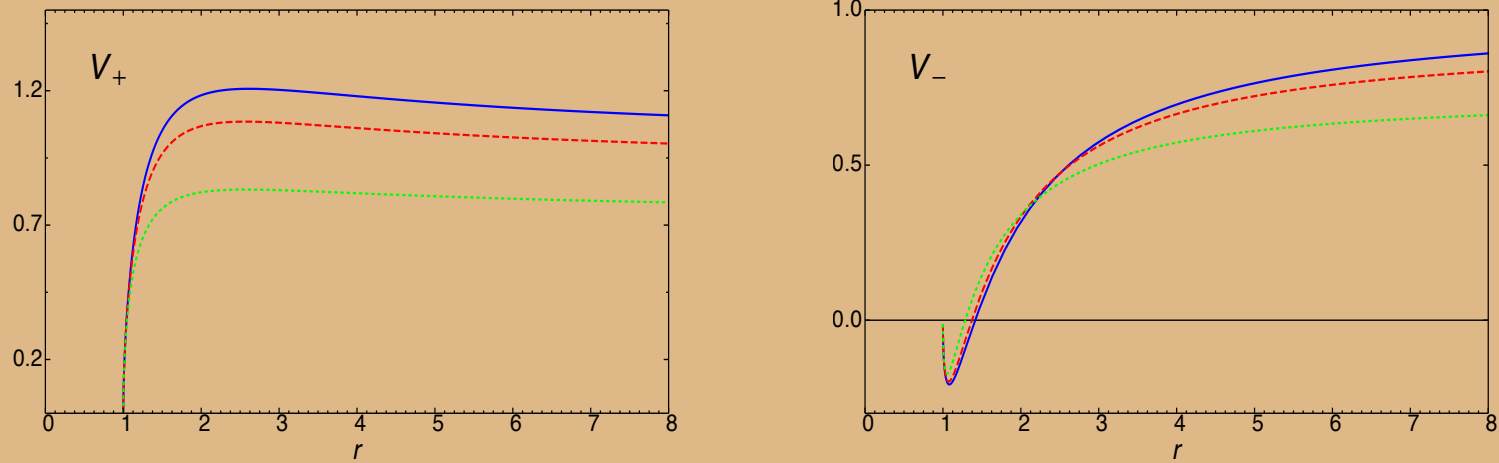


Figura 4: Potenciales V_+ (derecha) y V_- (izquierda) para el espinor sin masa con $\alpha = 0$ (azul), $\alpha = 0,1$ (rojo) y $\alpha = 0,5$ (verde).

- ♣ Modos puramente no-oscilatorios para V_- .
- ♣ Transición de modos oscilatorios (r_+ pequeño) para no-oscilatorios (r_+ grande) para V_+ .
- ♣ Para agujeros negros grandes la frecuencia $\propto r_+$.
- ♣ Para agujeros negros muy grandes, α no influye en la frecuencia.
- ♣ No existe isospectralidad.

Termodinámica

♣ Algunas propiedades:

$$\begin{aligned} T &= \frac{r_+}{2\pi L^2}, & P &= \frac{1}{8\pi L^2}, & V &= \pi r_+^2, \\ M &= \frac{r_+^2}{8L^2}, & S &= \frac{\pi r_+}{2}, & \psi_\alpha &= 0, & \text{tal que } P &= \frac{T}{v}. \end{aligned} \quad (22)$$

Termodinámica

♣ Algunas propiedades:

$$T = \frac{r_+}{2\pi L^2}, \quad P = \frac{1}{8\pi L^2}, \quad V = \pi r_+^2,$$

$$M = \frac{r_+^2}{8L^2}, \quad S = \frac{\pi r_+}{2}, \quad \psi_\alpha = 0, \quad \text{tal que } P = \frac{T}{v}. \quad (22)$$

♣ Geodésicas nulas y termodinámica:

$$\dot{r}^2 + V_{eff} = 0, \quad \text{con} \quad V_{eff} = \frac{fL^2}{r^2} - E^2. \quad (23)$$

Condiciones de la circunferencia fotónica: (24)

$$V_{eff} = 0, \quad \frac{dV_{eff}}{dr} = 0, \quad \frac{d^2V_{eff}}{dr^2} < 0 \quad \text{en } r_{ps}. \quad (25)$$

Límite de entropía de Bekenstein

Consideramos una partícula moviéndose cerca a un agujero negro:

$$E = \pi_t = g_{tt}\dot{t}, \quad J = -\pi_\phi = -g_{\phi\phi}\dot{\phi}. \quad (26)$$

Por conservación de energía $-m^2 = \pi_\mu\pi^\mu$ tenemos:

$$E^2 - \frac{f J^2}{r^2} - m^2 f = 0. \quad (27)$$

Límite de entropía de Bekenstein

Consideramos una partícula moviéndose cerca a un agujero negro:

$$E = \pi_t = g_{tt}\dot{t}, \quad J = -\pi_\phi = -g_{\phi\phi}\dot{\phi}. \quad (26)$$

Por conservación de energía $-m^2 = \pi_\mu\pi^\mu$ tenemos:

$$E^2 - \frac{f J^2}{r^2} - m^2 f = 0. \quad (27)$$

El acercamiento de la partícula termina cuando:

$$\int_{r_+}^{r_++\delta(R)} \sqrt{g_{rr}} dr = R. \quad (28)$$

En este punto de captura minimizamos la energía como

$$E_{min} = \sqrt{f(r_+ + \delta)} m = \frac{mr_+R}{L^2}.$$

En este punto de captura minimizamos la energía como

$$E_{min} = \sqrt{f(r_+ + \delta)} m = \frac{mr_+ R}{L^2}.$$

De la primera ley termodinámica tenemos:

$$dM = E_{min} = T dS = \frac{\kappa}{2\pi} dS, \quad (29)$$

donde

$$\kappa = \frac{f'}{2} \Big|_{r=r_+} = \frac{r_+}{L^2}. \quad (30)$$

En este punto de captura minimizamos la energía como

$$E_{min} = \sqrt{f(r_+ + \delta)} m = \frac{mr_+R}{L^2}.$$

De la primera ley termodinámica tenemos:

$$dM = E_{min} = T dS = \frac{\kappa}{2\pi} dS, \quad (29)$$

donde

$$\kappa = \frac{f'}{2} \Big|_{r=r_+} = \frac{r_+}{L^2}. \quad (30)$$

Así, de la SLG, $S_{BH}(M + dM) \geq S_{BH}(M) + S$, tenemos:

$$S \leq 2\pi mR \equiv 2\pi ER. \quad (31)$$

Corrección semiclásica a la entropía

Consideramos un baño térmico de campos escalares afuera del horizonte:

$$\frac{1}{\sqrt{-g}}\partial_{\mu}(\sqrt{-g}g^{\mu\nu}\partial_{\nu}\Phi) - \mu^2\Phi = 0. \quad (32)$$

Corrección semiclásica a la entropía

Consideramos un baño térmico de campos escalares afuera del horizonte:

$$\frac{1}{\sqrt{-g}} \partial_\mu (\sqrt{-g} g^{\mu\nu} \partial_\nu \Phi) - \mu^2 \Phi = 0. \quad (32)$$

Con el método de la pared de ladrillos de 't Hooft:

$$\text{Corte UV:} \quad \Phi = 0 \text{ para } r \leq r_+ + \epsilon \quad (33)$$

$$\text{Corte IR:} \quad \Phi = 0 \text{ para } r \geq L \gg r_+. \quad (34)$$

Corrección semiclásica a la entropía

Consideramos un baño térmico de campos escalares afuera del horizonte:

$$\frac{1}{\sqrt{-g}} \partial_\mu (\sqrt{-g} g^{\mu\nu} \partial_\nu \Phi) - \mu^2 \Phi = 0. \quad (32)$$

Con el método de la pared de ladrillos de 't Hooft:

$$\text{Corte UV:} \quad \Phi = 0 \text{ para } r \leq r_+ + \epsilon \quad (33)$$

$$\text{Corte IR:} \quad \Phi = 0 \text{ para } r \geq L \gg r_+. \quad (34)$$

Descomponemos el campo como $\Phi(t, r, \varphi) = e^{-iEt + im\varphi} R(r)$; así, la ecuación radial es:

$$\frac{d^2 R}{dr^2} + \left(\frac{f'}{f} + \frac{1}{r} \right) \frac{dR}{dr} + \frac{1}{f} \left(\frac{E^2}{f} - \frac{m^2}{r^2} - \mu^2 \right) R = 0. \quad (35)$$

Usando la aproximación WKB, $R(r) \sim e^{iS(r)}$, podemos extraer el número de onda radial $K \equiv S'$

$$K = \frac{1}{\sqrt{f}} \left[\frac{E^2}{f} - \left(\frac{m^2}{r^2} + \mu^2 \right) \right]^{1/2}. \quad (36)$$

e insertarlo en la cuantización de los modos radiales n_r :

$$\pi n_r = \int_{r_++\epsilon}^L K(r, \ell, E) dr. \quad (37)$$

La energía libre de Helmholtz del baño térmico con temperatura $\beta^{-1} = \kappa/2\pi$ es:

$$F = - \int 2 dm \int \frac{n_r}{e^{\beta E} - 1} dE, \quad (38)$$

que, cerca del horizonte, sería:

$$F \approx - \frac{\zeta(3) (2\alpha)^{3/2}}{\beta^3 r_+} \int_{1+\bar{\epsilon}}^{\bar{L}} \left[-1 + \sqrt{1 + \frac{4\alpha}{L^2}(y^2 - 1)} \right]^{-3/2} dy, \quad (39)$$

con los reescalonamientos: $y = r/r_+$, $\bar{L} = L/r_+$ y $\bar{\epsilon} = \epsilon/r_+$.

A partir de la contribución divergente F_ϵ , que viene del límite inferior de la integral, la entropía se puede calcular como: $S_\epsilon = \beta^2 \frac{\partial F_\epsilon}{\partial \beta} = \frac{3\zeta(3)L^3}{\beta^2 \sqrt{2r+\epsilon}}$.

A partir de la contribución divergente F_ϵ , que viene del límite inferior de la integral, la entropía se puede calcular como: $S_\epsilon = \beta^2 \frac{\partial F_\epsilon}{\partial \beta} = \frac{3\zeta(3)L^3}{\beta^2 \sqrt{2r_+ \epsilon}}$.

Si el resultado se expresa en términos del espesor propio:

$$\xi = \int_{r_+}^{r_+ + \epsilon} \sqrt{g_{rr}} dr \approx \frac{L\sqrt{2\epsilon}}{\sqrt{r_+}}, \quad (40)$$

y el “área” del horizonte de eventos $A = 2\pi r_+$, llegamos a la simple expresión:

$$S_\epsilon = \frac{3\zeta(3)A}{8\pi^3 \xi}. \quad (41)$$

Resumiendo

- ♣ Consideramos una solución de agujero negro en una teoría $(2 + 1)$ -dimensional que incluye el término de GB, la cual se reduce al agujero negro BTZ cuando $\alpha \rightarrow 0$.

Resumiendo

- ♣ Consideramos una solución de agujero negro en una teoría $(2 + 1)$ -dimensional que incluye el término de GB, la cual se reduce al agujero negro BTZ cuando $\alpha \rightarrow 0$.
- ♣ Los modos cuasinormales escalares muestran un escalamiento lineal entre las frecuencias y el horizonte de eventos \rightarrow ausencia de transiciones. La influencia de α es notable.

Resumiendo

- ♣ Consideramos una solución de agujero negro en una teoría $(2 + 1)$ -dimensional que incluye el término de GB, la cual se reduce al agujero negro BTZ cuando $\alpha \rightarrow 0$.
- ♣ Los modos cuasinormales escalares muestran un escalamiento lineal entre las frecuencias y el horizonte de eventos \rightarrow ausencia de transiciones. La influencia de α es notable.
- ♣ Los modos hidrodinámicos son igualmente puramente imaginarios y, para temperaturas altas, los estados térmicos no sobreviven mucho tiempo.

♣ Los modos cuasinormales espinoriales son menos influenciados por α , especialmente para agujeros negros grandes. No existe isospectralidad. Para V_- los modos son puramente imaginarios y para V_+ existe un punto de transición donde se pierden las oscilaciones.

- ♣ Los modos cuasinormales espinoriales son menos influenciados por α , especialmente para agujeros negros grandes. No existe isospectralidad. Para V_- los modos son puramente imaginarios y para V_+ existe un punto de transición donde se pierden las oscilaciones.
- ♣ Los modos cuasinormales escalares y espinoriales muestran estabilidad dinámica y son suficientes para garantizarla.

- ♣ Los modos cuasinormales espinoriales son menos influenciados por α , especialmente para agujeros negros grandes. No existe isospectralidad. Para V_- los modos son puramente imaginarios y para V_+ existe un punto de transición donde se pierden las oscilaciones.
- ♣ Los modos cuasinormales escalares y espinoriales muestran estabilidad dinámica y son suficientes para garantizarla.
- ♣ La forma de T y la ausencia de circunferencia fotónica, confirman la imposibilidad de transiciones de fase.
- ♣ El límite de entropía de Bekenstein es respetado por este agujero negro, al absorber un objeto.
- ♣ El método de 't Hooft proporciona una corrección semiclásica universal en $(2 + 1)$ dimensiones.

